

(S. Oller)

Modelo de Procedimiento a seguir para el Cálculo y Dimensionado de la Estructura plana que se asigne resolver.

(Ver archivo adjunto: “Ejemplo Estructura-1- Mat de Rigidez.xls”)

ALGUNAS DEFINICIONES A TENER EN CUENTA

Paso 1) PREDICCIÓN. Dada la estructura de la figura, obtener a través del “Método de las Matrices de Rigidez” las leyes de Momento Flector, Esfuerzo Cortante y Esfuerzo Axil y Desplazamientos en todos los nudos. Verificar también el equilibrio global. (ver archivo: [Ejemplo Estructura-1 Mat de Rigidez.xls](#))

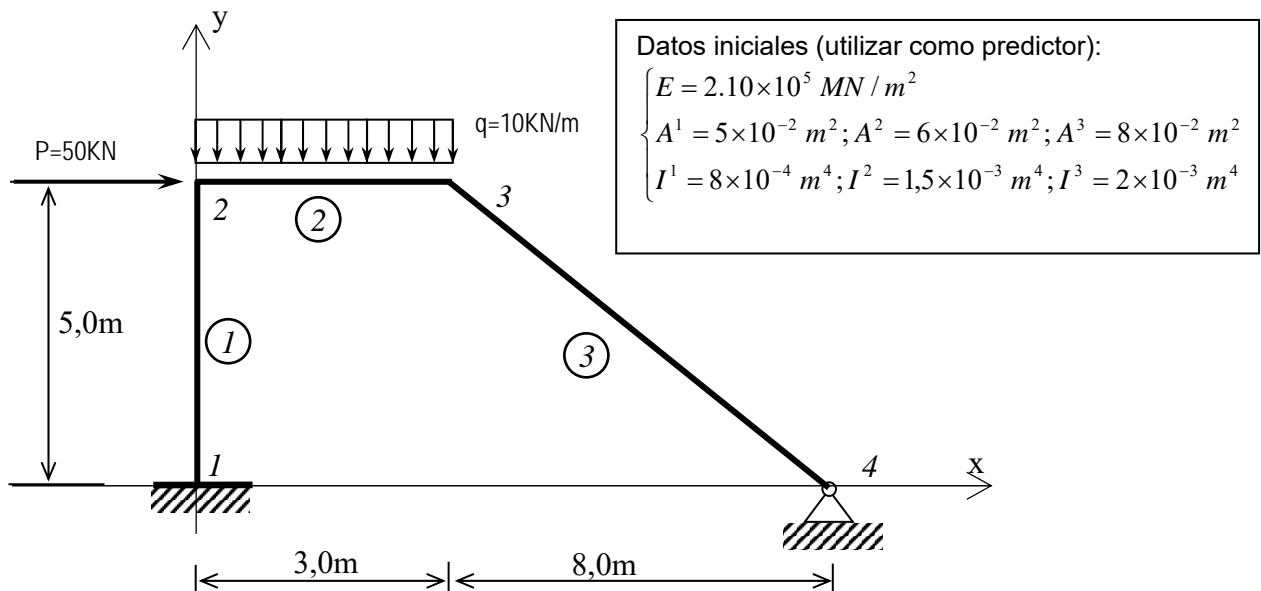
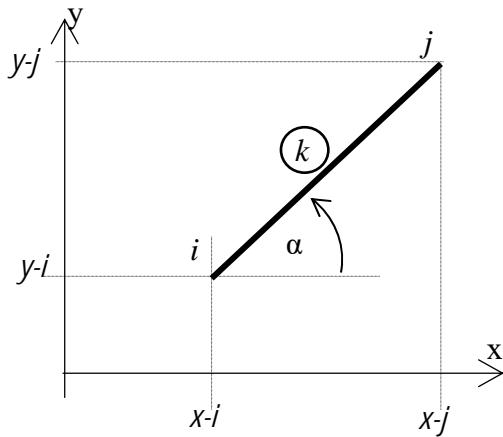


Tabla de Relaciones Nodales

Barra	N-i	N-j	x-i	y-i	x-j	y-j	cos(α-i)	sen(α-i)
1	1	2	0,0	0,0	0,0	5,0	0,0x10 ⁰	1,0x10 ⁰
2	2	3	0,0	5,0	3,0	5,0	1,0x10 ⁰	0,0x10 ⁰
3	3	4	3,0	5,0	11,0	0,0	8,48x10 ⁻¹	-5,3x10 ⁻¹

(S. Oller)

Orientación de la barra (cambio de base)



$$\cos \alpha = \frac{x_j - x_i}{\sqrt{(x_j - x_i)^2 + (y_j - y_i)^2}}$$

$$\operatorname{sen} \alpha = \frac{y_j - y_i}{\sqrt{(x_j - x_i)^2 + (y_j - y_i)^2}}$$

$$\mathbf{x}^e = \mathbf{T}_k \cdot \mathbf{x} \Rightarrow \begin{Bmatrix} x^e \\ y^e \\ \varphi^e \end{Bmatrix} = \begin{bmatrix} \cos \alpha & \operatorname{sen} \alpha & 0 \\ -\operatorname{sen} \alpha & \cos \alpha & 0 \\ 0 & 0 & 1 \end{bmatrix} \begin{Bmatrix} x \\ y \\ \varphi \end{Bmatrix}$$

Definición de las matrices elementales “e”

$$\mathbf{K}^e = \begin{bmatrix} \frac{EA}{L} & 0 & 0 & -\frac{EA}{L} & 0 & 0 \\ 0 & \frac{12EI}{L^3} & -\frac{6EI}{L^2} & 0 & -\frac{12EI}{L^3} & -\frac{6EI}{L^2} \\ 0 & -\frac{6EI}{L^2} & \frac{4EI}{L} & 0 & \frac{6EI}{L^2} & \frac{2EI}{L} \\ -\frac{EA}{L} & 0 & 0 & \frac{EA}{L} & 0 & 0 \\ 0 & -\frac{12EI}{L^3} & \frac{6EI}{L^2} & 0 & \frac{12EI}{L^3} & \frac{6EI}{L^2} \\ 0 & -\frac{6EI}{L^2} & \frac{2EI}{L} & 0 & \frac{6EI}{L^2} & \frac{4EI}{L} \end{bmatrix} = \begin{bmatrix} \mathbf{K}_{ii}^e & \mathbf{K}_{ij}^e \\ \mathbf{K}_{ji}^e & \mathbf{K}_{jj}^e \end{bmatrix}$$

$$\mathbf{U}^e = \begin{Bmatrix} u_i^N \\ u_i^Q \\ \varphi_i \\ u_j^N \\ u_j^Q \\ \varphi_j \end{Bmatrix} = \begin{Bmatrix} \mathbf{U}_i^e \\ \mathbf{U}_j^e \end{Bmatrix} \quad ; \quad \mathbf{F}^e = \begin{Bmatrix} N_i \\ Q_i \\ M_i \\ N_j \\ Q_j \\ M_j \end{Bmatrix} = \begin{Bmatrix} \mathbf{F}_i^e \\ \mathbf{F}_j^e \end{Bmatrix} \quad ; \quad (\mathbf{F}^e)^q = \begin{Bmatrix} N_i^q \\ Q_i^q \\ M_i^q \\ N_j^q \\ Q_j^q \\ M_j^q \end{Bmatrix} = \begin{Bmatrix} (\mathbf{F}_i^e)^q \\ (\mathbf{F}_j^e)^q \end{Bmatrix}$$

Ecuación de equilibrio local (para cada elemento e)

$$\mathbf{F}^e = \mathbf{K}^e \cdot \mathbf{U}^e + (\mathbf{F}^e)^q$$

o también, agrupada por nodos

$$\begin{Bmatrix} \mathbf{F}_i^e \\ \mathbf{F}_j^e \end{Bmatrix} = \begin{bmatrix} \mathbf{K}_{ii}^e & \mathbf{K}_{ij}^e \\ \mathbf{K}_{ji}^e & \mathbf{K}_{jj}^e \end{bmatrix} \cdot \begin{Bmatrix} \mathbf{U}_i^e \\ \mathbf{U}_j^e \end{Bmatrix} + \begin{Bmatrix} (\mathbf{F}_i^e)^q \\ (\mathbf{F}_j^e)^q \end{Bmatrix}$$

(S. Oller)

Rotación, Colocación y Ensamblaje de las matrices correspondientes a cada elemento “e”

$$\mathbf{F}_G = \underbrace{\sum_{e=1}^n \left\{ \mathbf{\Pi}_e^T \cdot \mathbf{K}^e \cdot \mathbf{\Pi}_e \right\}}_{\mathbf{K}_G} \cdot \mathbf{U}_G + (\mathbf{F})_G^q ; \text{ con: } \mathbf{\Pi}_e = \begin{bmatrix} \mathbf{T}_e & \mathbf{0} \\ \mathbf{0} & \mathbf{T}_e \end{bmatrix}$$

Solución de la estructura

$$\mathbf{U}_G = \mathbf{K}_G^{-1} \cdot \left[\mathbf{F}_G - (\mathbf{F})_G^q \right]$$

Teniendo las siguientes formas detallada para cada una de estas matrices

$$\mathbf{K}_G = \sum_{e=1}^n \left\{ \mathbf{\Pi}_e^T \cdot \mathbf{K}^e \cdot \mathbf{\Pi}_e \right\} = \sum_{e=1}^n \left\{ \begin{bmatrix} \mathbf{T}_e & \mathbf{0} \\ \mathbf{0} & \mathbf{T}_e \end{bmatrix}^T \cdot \begin{bmatrix} \mathbf{K}_{ii}^e & \mathbf{K}_{ij}^e \\ \mathbf{K}_{ji}^e & \mathbf{K}_{jj}^e \end{bmatrix} \cdot \begin{bmatrix} \mathbf{T}_e & \mathbf{0} \\ \mathbf{0} & \mathbf{T}_e \end{bmatrix} \right\}$$

$$\mathbf{K}_G = \begin{bmatrix} \boxed{\mathbf{T}_1^T \mathbf{K}_{11}^1 \mathbf{T}_1} & \boxed{\mathbf{T}_1^T \mathbf{K}_{12}^1 \mathbf{T}_1} & 0 & 0 \\ \boxed{\mathbf{T}_1^T \mathbf{K}_{21}^1 \mathbf{T}_1} & \boxed{\mathbf{T}_1^T \mathbf{K}_{22}^1 \mathbf{T}_1 + \mathbf{T}_2^T \mathbf{K}_{22}^2 \mathbf{T}_2} & \boxed{\mathbf{T}_2^T \mathbf{K}_{23}^2 \mathbf{T}_2} & 0 \\ 0 & \boxed{\mathbf{T}_2^T \mathbf{K}_{32}^2 \mathbf{T}_2} & \boxed{\mathbf{T}_2^T \mathbf{K}_{33}^2 \mathbf{T}_2 + \mathbf{T}_3^T \mathbf{K}_{33}^3 \mathbf{T}_3} & \boxed{\mathbf{T}_3^T \mathbf{K}_{34}^3 \mathbf{T}_3} \\ 0 & 0 & \boxed{\mathbf{T}_3^T \mathbf{K}_{43}^3 \mathbf{T}_3} & \boxed{\mathbf{T}_3^T \mathbf{K}_{44}^3 \mathbf{T}_3} \end{bmatrix}$$

$$(\mathbf{F})_G^q = \sum_{e=1}^n \left\{ \mathbf{\Pi}_e^T \cdot (\mathbf{F}^e)^q \right\} = \begin{bmatrix} \boxed{\mathbf{T}_1^T (\mathbf{F}_1^1)^q} \\ \boxed{\mathbf{T}_1^T (\mathbf{F}_2^1)^q + \mathbf{T}_2^T (\mathbf{F}_2^2)^q} \\ \boxed{\mathbf{T}_2^T (\mathbf{F}_3^2)^q + \mathbf{T}_3^T (\mathbf{F}_3^3)^q} \\ \boxed{\mathbf{T}_3^T (\mathbf{F}_4^3)^q} \end{bmatrix} = \begin{bmatrix} (F_{x1})^q \\ (F_{y1})^q \\ (M_1)^q \\ (F_{x2})^q \\ (F_{y2})^q \\ (M_2)^q \\ (F_{x3})^q \\ (F_{y3})^q \\ (M_3)^q \\ (F_{x4})^q \\ (F_{y4})^q \\ (M_4)^q \end{bmatrix} = \begin{bmatrix} 0 \\ 0 \\ 0 \\ 0+0 \\ 0+\frac{qL_2}{2} \\ 0-\frac{qL_2^2}{12} \\ 0+0 \\ \frac{qL_2}{2}+0 \\ \frac{qL_2^2}{12} \\ 0 \\ 0 \\ 0 \end{bmatrix} ;$$

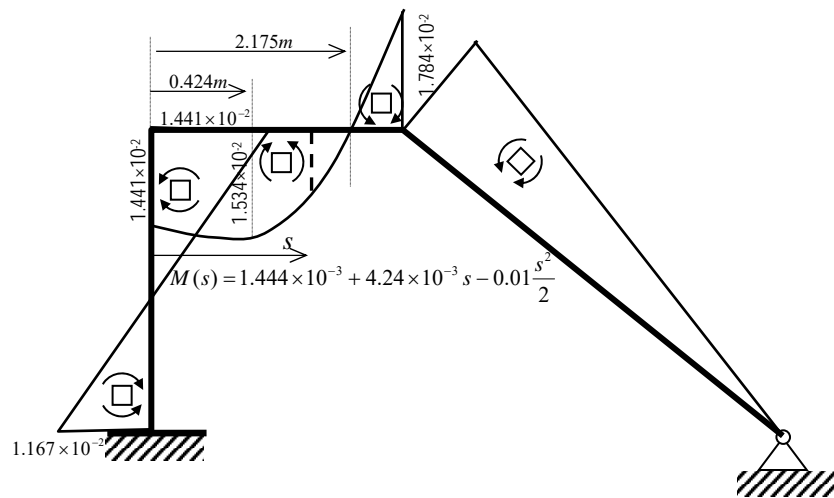
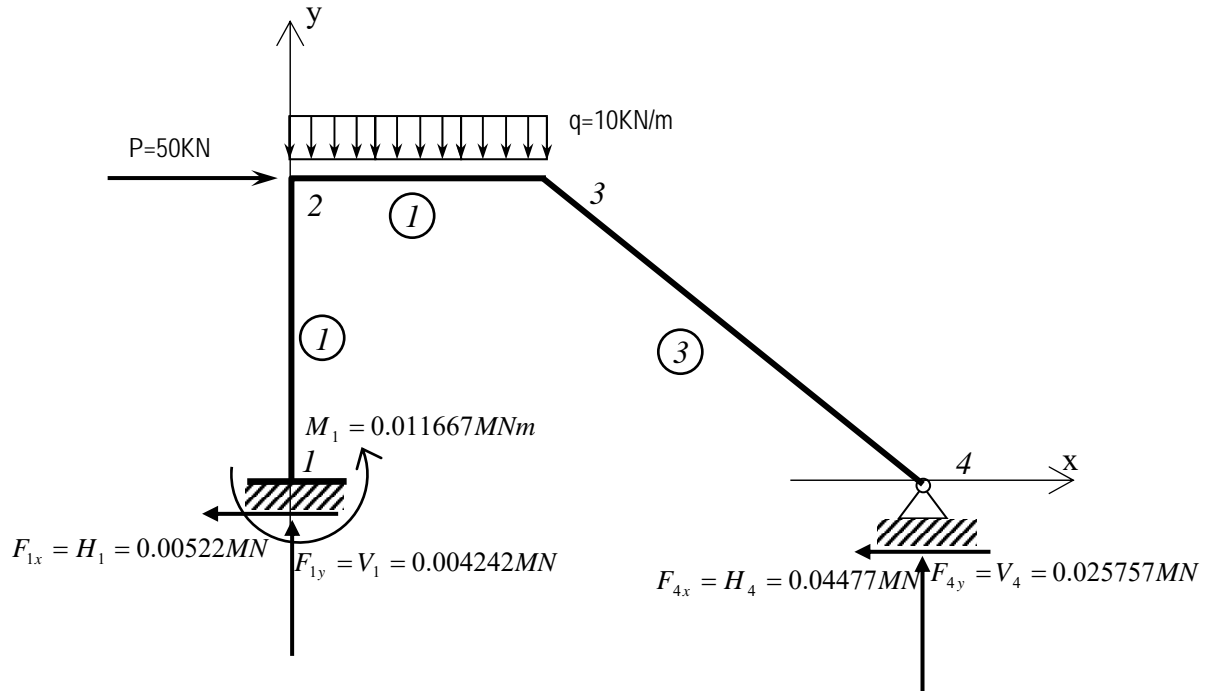
(S. Oller)

$$\mathbf{F}_G = \sum_{e=1}^n \mathbf{A} \left\{ \mathbf{\Pi}_e^T \cdot \mathbf{F}^e \right\} = \left\{ \begin{array}{c} \mathbf{T}_1^T(\mathbf{F}_1^1) \\ \mathbf{T}_1^T(\mathbf{F}_2^1) + \mathbf{T}_2^T(\mathbf{F}_2^2) \\ \mathbf{T}_2^T(\mathbf{F}_3^2) + \mathbf{T}_3^T(\mathbf{F}_3^3) \\ \mathbf{T}_3^T(\mathbf{F}_4^3) \end{array} \right\} = \left\{ \begin{array}{c} F_{x1} \\ F_{y1} \\ M_1 \\ F_{x2} \\ F_{y2} \\ M_2 \\ F_{x3} \\ F_{y3} \\ M_3 \\ F_{x4} \\ F_{y4} \\ M_4 \end{array} \right\} = \left\{ \begin{array}{c} H_1 \\ V_1 \\ M_1 \\ P \\ 0 \\ 0 \\ 0 \\ 0 \\ 0 \\ H_4 \\ V_4 \\ 0 \end{array} \right\};$$

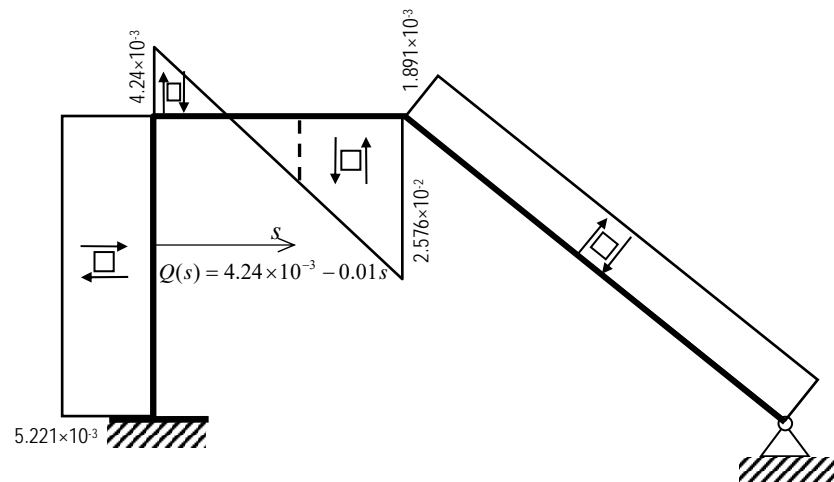
$$\mathbf{U}_G = \left\{ \begin{array}{c} u_1 \\ v_1 \\ \varphi_1 \\ u_2 \\ v_2 \\ \varphi_2 \\ u_3 \\ v_3 \\ \varphi_3 \\ u_4 \\ v_4 \\ \varphi_4 \end{array} \right\} = \left\{ \begin{array}{c} 0 \\ 0 \\ 0 \\ u_2 \\ v_2 \\ \varphi_2 \\ u_3 \\ v_3 \\ \varphi_3 \\ 0 \\ 0 \\ \varphi_4 \end{array} \right\}$$

(S. Oller)

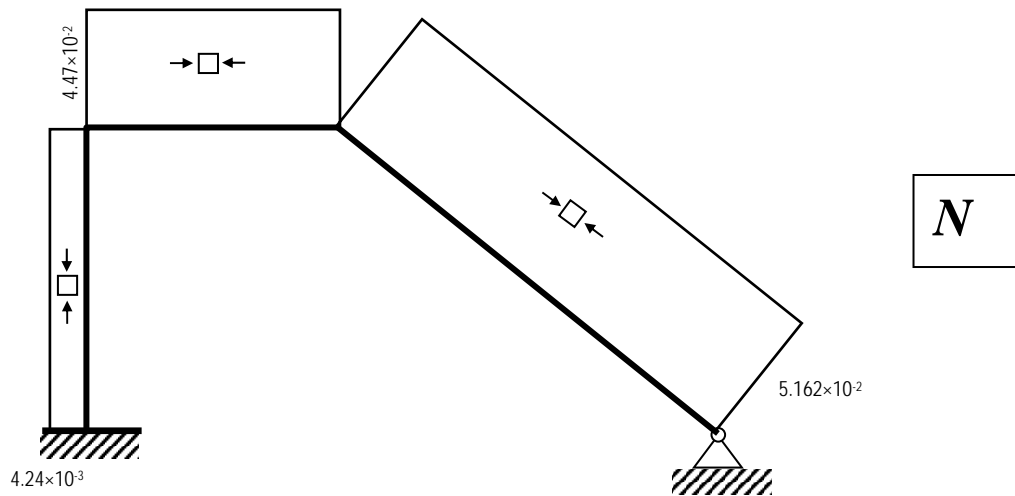
Reacciones y Leyes de Esfuerzo (Ver hoja Excel)



M



Q



Paso 2) CORRECCIÓN DE LAS SECCIONES TRANSVERSALES Y NUEVO CÁLCULO: Dimensionar todas las barra de la estructura con **perfiles normalizados o chapa plegada**.

Considerar un acero cuya Tensión al Límite Elástico es $f_y = 225 \text{ N/mm}^2$ [MN/m^2], Tensión de Rotura $f_u = 360 \text{ N/mm}^2$ [MN/m^2], Módulo de Elasticidad a Tracción $E = 210.000 \text{ N/mm}^2$ [MN/m^2], Módulo de Elasticidad a Compresión¹ $E = 21.000 \text{ N/mm}^2$ [MN/m^2], Módulo a Cortante $G = 81.000 \text{ N/mm}^2$ [MN/m^2], Coeficiente de Poisson $\nu = 0,3$, Coeficiente de dilatación térmica $\alpha = 1,2 \times 10^{-5} \text{ } ^\circ\text{C}^{-1}$.

Se define a también la *Resistencia de Cálculo* $f_{yd} = \frac{f_y}{\gamma_{M1}} = \frac{225}{1,05} = 214,29 \text{ N/mm}^2$, siendo $\gamma_{M1} = 1,05$ el *coeficiente de seguridad del material*, y la *Resistencia última de Comprobación* $f_{ud} = \frac{f_u}{\gamma_{M2}} = \frac{360}{1,25} = 288,00 \text{ N/mm}^2$, siendo $\gamma_{M2} = 1,25$ el *coeficiente de seguridad de resistencia última del material*.

Procedimiento a seguir para el dimensionado de cada una de las barras: Se supone una estructura plana, en la que los esfuerzos axiales N , esfuerzos de corte Q y momentos flectores M , son esfuerzos de cálculo (están afectados por la combinación de acciones y de los coeficientes de seguridad correspondiente).

¹ Simulación simplificada del fenómeno de inestabilidad por compresión simulando el fenómeno cinemático de inestabilidad a través de una aproximación constitutiva.

(S. Oller)

- i) Obtención de la **sección transversal mínima necesaria** A^{nec} del perfil normalizado/chapa plegada para resistir el esfuerzo axial máximo de la barra N ,

$$A^{nec} \geq \frac{N}{f_{yd}}$$

- ii) Obtención del **módulo resistente** W_{11}^{nec} (y su inercia I_{11}^{nec}) **mínimo necesario** del perfil normalizado/chapa plegada para resistir el momento flector máximo de la barra M ,

$$W_{11}^{nec} \geq \frac{M}{f_{yd}} \Rightarrow I_{11}^{nec}$$

- iii) Se selecciona el perfil/chapa plegada más grande de los obtenidos en i) y ii), y se realiza la **comprobación de la tensión σ máxima a flexión compuesta recta**,

$$\sigma = \frac{N}{A^{nec}} + \frac{M}{W_{11}^{nec}} \leq f_{yd}$$

- iv) Se selecciona el perfil/chapa plegada más grande de los obtenidos en i) y ii), y se realiza la **comprobación de la tensión tangencial τ máxima a cortante**,

$$\tau = \frac{Q m_{11}^*}{I_{11}^{nec} \delta} \leq \frac{f_{yd}}{\sqrt{3}}$$

Siendo δ el espesor en el punto de la sección transversal, donde el momento estático m_{11}^* es máximo.

Procedimiento de recalcu de la estructura: Una vez se ha obtenido para cada barra de la estructura la sección transversal A^{nec} y la inercia I_{11}^{nec} , que garantizan que la tensión $\sigma \leq f_{yd}$ y $\tau \leq f_{yd}/\sqrt{3}$ son inferiores a las correspondientes resistencia de cálculo, y teniendo en cuenta el signo del esfuerzo axial (Elasticidad reducida si es de compresión), **se realiza un nuevo recalcu de la estructura con estos nuevos valores.**

Esta corrección realizada en el **Paso 2**, se repite hasta que la estructura alcanza un comportamiento estacionario, es decir que la sección transversal A^{nec} y la inercia I_{11}^{nec} no cambian.

RESUMEN DE LOS PASOS A SEGUIR:

- 1) Obtener el área necesaria " A_{nec} ", y con ella se busca un área igual o la inmediata superior y se selecciona el perfil normalizado correspondiente.
- 2) Obtener el módulo resistente necesario " W_{nec} ", y con esta magnitud se busca un módulo resistente igual o la inmediata superior y se selecciona el perfil normalizado correspondiente.
- 3) **Se elige el perfil/chapa plegada mayor de los dos que se han obtenido anteriormente** (1 o 2). Con este se hace la verificación correspondiente a Flexión Compuesta y a Corte. Si las tensiones " σ " y " τ " son menores que las resistencias máximas admitidas " f_{yd} ", " $f_{yd}/\sqrt{3}$ ", se procede a utilizarlo en el nuevo cálculo de la estructura.